

保護継電方式における検出端機器(CT)の特性

Characteristic of CT in Protection Scheme

四十万 稔*

Minoru Shijima

I. まえがき

保護継電方式の適用可否には検出端機器(CT, PT または PD)と検出器(継電器)の有機的な結合の良否が大きな影響をもっている。

継電器単体についての開発は、トランジスタ、サイリスタなど半導体製品の進歩に伴って著しく改善され、すでに実用段階に入っているが、他方検出端機器としての変成器類にはあまり改善の努力が払われていない。

実系統における故障現象を的確に把握し、継電器への判定入力とするためには検出端機器の性能向上が継電器同様に論じなければならない。

特に、故障発生初期における過渡現象時にどのような特性を有するかが問題であり、この関係を扱った文献も(1)～(15)最近多くなっている。

一次系統現象を忠実に継電器に提供し得るかということは保護継電方式全般の高信頼性、高速度化解決の一課題でもある。

トランジスタ、サイリスタなど軽量、小形半導体素子は本質的にサージ、高調波異常電圧に対する許容レベルが低いから、これらの対策も考慮しなければならぬし、変成器自体の忠実な変成がどの程度可能であるかは継電方式高性能化の重要な問題である。

この意味で保護継電器用計器用変成器について各種過渡特性試験を行ない、性能向上調査の一助に報告するとともに、継電器には変成器との結合において検討すべき諸点を提起したつもりである。

II. CT の過電流域特性

計測用の CT は系統の正常な場合に働くものであるが、継電器用の CT は短絡あるいは地絡など系統に故障の生じた場合に働くもので定格電流の数倍特には 20 倍を越える過電流域の特性が問題になる。すなわち

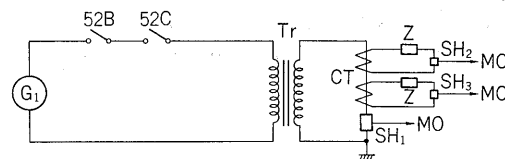
- (1) 電流特性
- (2) 負担 VA 特性
- (3) 過渡電流変成特性

などが充分な適格性をもっていないと保護継電器用としては使用できることになる。

最近のように超高压系統が多くなることにより CT に課せられる責務も以上の意味で過酷となりつつある。この

第1表 定格仕様
Table 1. Rated specifications of CT

項番	定格電圧 (kV)	定格電流		定格周波数 (Hz)	定格負担 (VA)
		一次 (A)	二次 (A)		
(a)	80.5	800-400	5	60	40
(b)	"	300-150	"	"	"
(c)	"	600-300	"	"	"
(d)	"	100	"	"	"



G_1 : 短絡発電機
 52B: 保護用しゃ断器
 (O C B)
 52C: 投入用開閉器
 Tr: 変圧器 22-11kV/600
 -300V, 1,000kVA
 CT: 供試品
 SH₁: 分流器 5.06V/10kA
 および 2.19V/
 150kA
 SH₂₋₃: 分流器 150A/45mV
 150A/60mV
 Z: 定格負担 40VA
 pf=0.8
 MO: 電磁オシロ

第1図 試験回路

Fig. 1. Testing circuit

第2表 結果一覧表

Table 2. Results of test

項番	CT タップ	投入波高値		0.3秒後電流		JEC による 次電流 (kA)	通電 時間 (sec)	温度 上昇 (°C)		
		一次 (kA)	二次(A) No.	一次 (kA)	二次(A) No.					
(a)	800A/5A	80.3	137	139	35.7	199	197	34.7	1.13	8.5
(b)	150A/5A	15.1	160	166	6.48	187	193	6.5	1.19	3.5
(c)	600A/5A	77.5	188	153	25.5	208	199	26.0	1.14	6.5
(d)	100A/5A	40.7	220	—	15.7	352	—	15.5	1.15	3.0

注) 1) いづれも試験前後絶縁抵抗は無限大であった(1,000V メーターで測定)。

2) 1 秒通電時の平均電流は 0.3 秒後の値に大体等しくなるので、一次、二次電流の関係をみるためにこの値を表示した。ただし一次電流はこの実効値、二次電流はこの波高値。

3) 二次電流 No. 1, No. 2 は、二次巻線が 2 本あるものにつき、便宜上符号をつけた。

* 制御・系統技術部

観点より以下、当社短絡試験設備を用いて試験を行なった結果を述べることにする。

1. CT の過電流強度試験 (その 1)

供試品の定格仕様は第 1 表のとおりである。

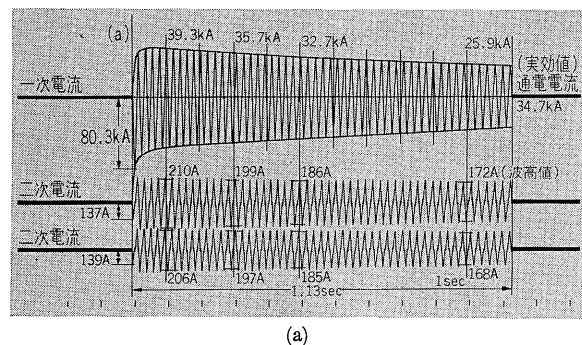
試験内容は下記のとおりで、第 1 図はその試験回路、第 2 図(a)～(d)は結果のオシログラム、第 2 表に結果の一覧を示す。

(1) 過電流強度および通電時間

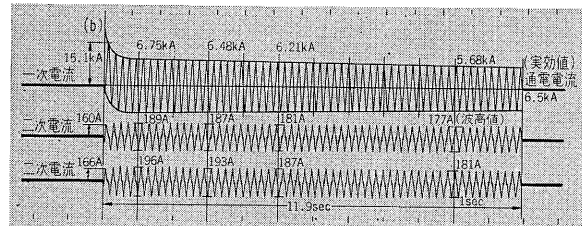
項番(d)のみ定格電流の 150 倍
他項番のものは定格電流の 40 倍
通電時間 1 秒

(2) 定格負担 二次負担 40 VA, $\text{pf} = 0.8$

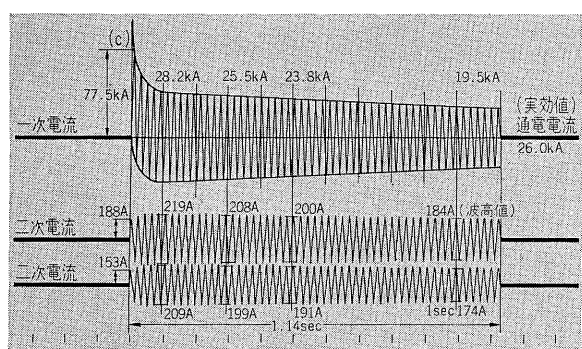
(3) 温度上昇 外部端子で測定



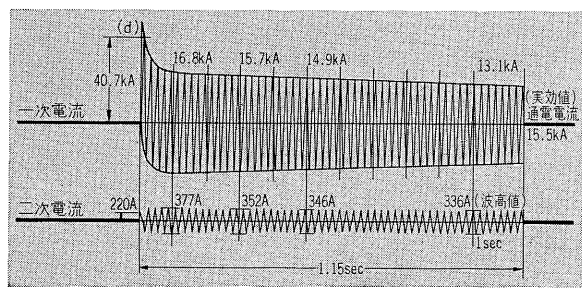
(a)



(b)



(c)



(d)

第 2 図 過電流強度試験結果 (その 1)

Fig. 2. Testing results of overcurrent strength (Part 1)

(4) 絶縁抵抗測定

試験は JE C-143 に準拠し、通電電流（実効値）は JE C-145 に準拠した。

2. CT の過電流試験 (その 2)

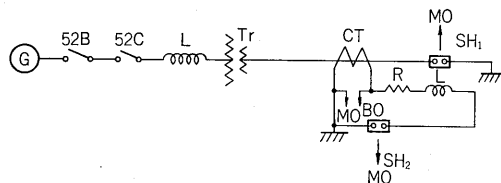
供試品定格仕様は第 3 表のとおりである。

試験内容は (その 1) と同じ、第 3 図はその試験回路

第 3 表 定格仕様

Table 3. Rated specifications of CT

項目番号	一次電流(A)	二次電流(A)	負担(VA)	過電流強度
(a)	400	5	40	75倍
(b)	600	5	40	40倍



G : 三相短絡発電機 1,500

MV A

Tr : 大电流変圧器 300kVA

SH1, SH2 : 电流測定用分流器

52C : 投入用開閉器

52B : 保護用しゃ断器

測定項目

(イ) 主回路電流(一次電流)

(ロ) 二次電圧

(ハ) 二次電流

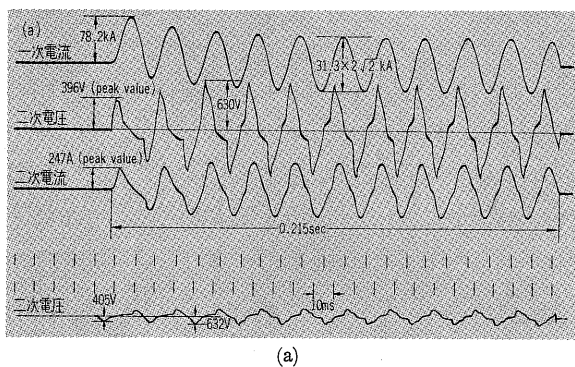
第 3 図 試験回路

Fig. 3. Testing circuit

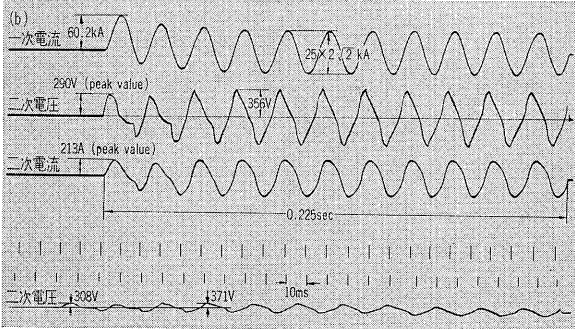
第 4 表 結果一覧表

Table 4. Results of test

供試品	主回路電流(kA)	主回路電流投入波高値(kA)	通電時間(sec)	結果
400/5A	31.3	78.2	0.215	外観上異常なし
600/5A	25.0	60.2	0.225	同上



(a)



(b)

第 4 図 過電流強度試験結果 (その 2)

Fig. 4. Testing results of overcurrent strength (Part 2)

路、第4図(a)～(b)は結果のオシログラム、第4表に結果の一覧を示す。

3. CTの過渡特性試験(その1)

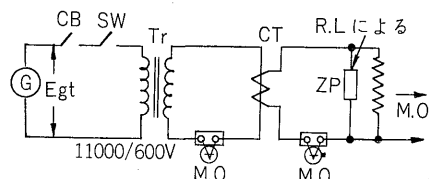
1) 供試品定格仕様

CT 2-60形 400-200/5A 40VA pf=0.8
O.C.C > 20 O.C.S = 40倍(試験時一次400Aタップ)

2) 試験内容と回路 11,000/600V

3) 試験結果

試験回路は第5図、結果のオシログラムは第6図(a)～(e)に示す。

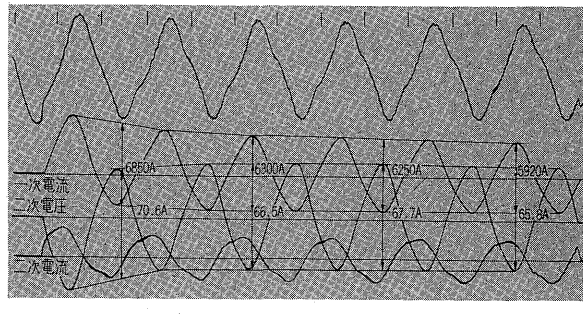


第5図 試験回路

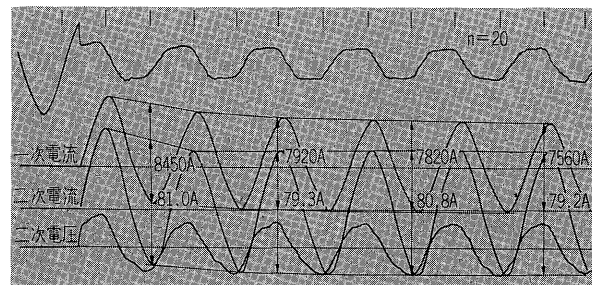
Fig. 5. Testing circuit

- 1) 回路定数はオシログラムの直流分減衰項および上記発電機出力端電圧とから求めることができる。
- 2) (c) の試験前に減磁を行なう。

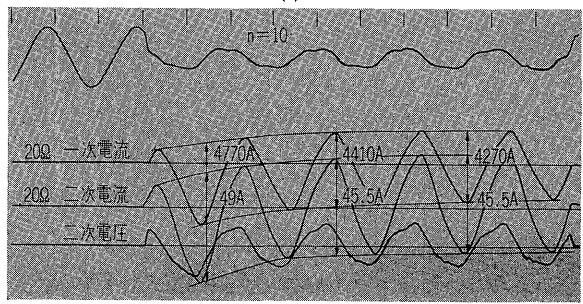
O S C. No.	(a)	(b)	(c)	(d)	(e)
発電機端子電圧 Egt(kV)	2.24	2.75	1.56	2.74	1.60



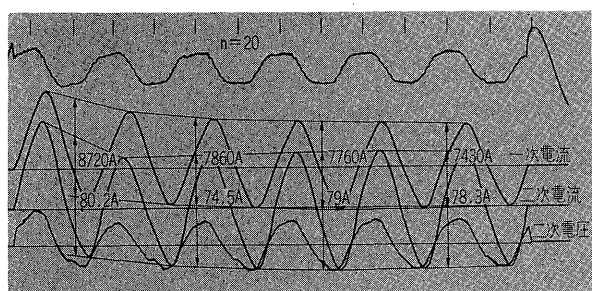
(a)



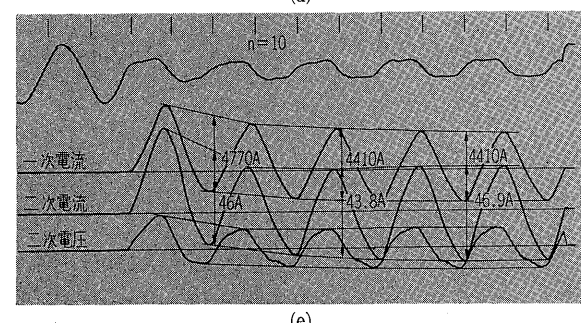
(b)



(c)



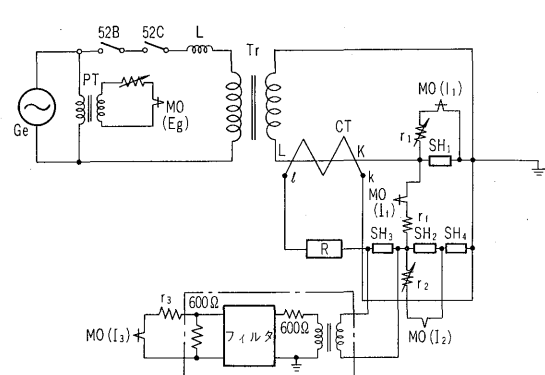
(d)



(e)

第6図 過渡特性試験(その1)

Fig. 6. Transient response of CT (Part 1)



Ge : 短絡発電機 短絡容量 100MVA

52B : 保護用しゃ断器

52C : 投入開閉器

L : 电流調整用限流リクトル 1.16Ω

Tr : 電源変圧器 3,000kVA 11kV/300V %Z = 0.8

CT : 供試変流器使用タップ 200/5A

PT : 計器用変圧器 11kV/110V

SH1 : 一次電流および励磁電流測定用分流器 0.112mΩ

SH2 : 二次電流測定用分流器 2.1mΩ

SH3 : フィルタ出力測定用分流器 53.5mΩ

SH4 : 励磁電流測定用分流器 2.1mΩ

r₁ : 電磁オシロ外付抵抗 10, 20, 45Ω

r₂ : 電磁オシロ外付抵抗 5, 10Ω

r₃ : 電磁オシロ外付抵抗 3kΩ

R : 二次負担 1.53Ω pf=1

MO : 電磁オシロエレメント

測定項目

E_g : 発電機電圧

I₁ : 一次電流

I₂ : 二次電流

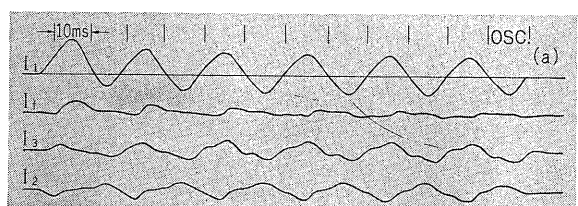
I_f : 励磁電流

I_s : フィルタ出力電流

主回路減衰時定数 T=30ms (O S C. (c) より求めた)

第7図 試験回路

Fig. 7. Testing circuit

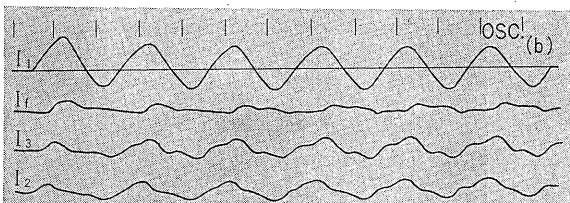


最大過渡項発生位相で投入されたもので、CTの残留磁束は不明。一次電流は標準的な定常項と過渡項の合成波形であるが、二次電流はほぼ $\frac{1}{4}$ サイクルで急減し、逆に励磁電流が急増する。これは理論的にも説明される。二次電流が零となる点で励磁電流が最大値となる。

本オシロでは二次電流の極性が逆になっている。過電流倍率は

$$\frac{11,400}{2 \times \sqrt{2} \times 200} = 20.1 \div 20(\text{倍})$$

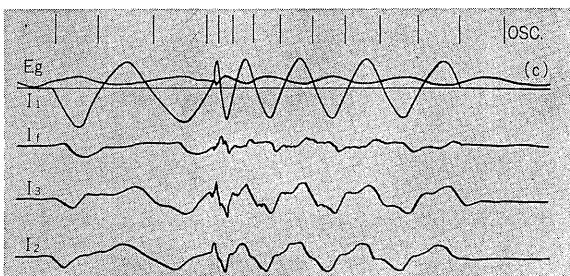
である。フィルタ出力波形もほとんど二次電流と一致している。特に波形ひずみの差は助長されていない。フィルタのおくれが多少出ている。



最大過渡項発生位相で投入されたオシロである。ただし投入に先立って※注3に記したようにCTの交流減磁を行なつておいたので、残留磁束は一応零と考えてよい。過電流倍率は

$$\frac{10,300}{2 \times \sqrt{2} \times 200} = 18.1 \div 18(\text{倍})$$

である。フィルタ出力波形、二次電流波形ともに第1波が後続第2波以降とかなり異なっている。傾向はOSC(a)と同じである。

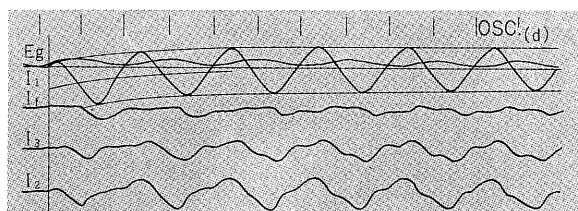


最大過渡項発生位相で投入されたオシロでOSC(b)と同一条件であるが多少位相の差がある。

第1波のみに着目して観測したものである。過電流倍率は

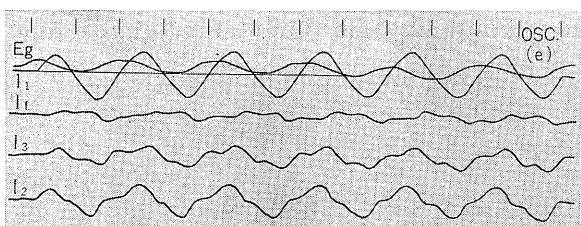
$$\frac{8,700}{2 \times \sqrt{2} \times 200} = 15.4(\text{倍})$$

である。



投入位相をほぼ 30° 程度ずらして投入したもので過渡項の初期値はやや低くなっている。二次電流、フィルタ電流とともに一次電流と同じように立上りは逆方向に振れている。磁化しているが、この程度の電流ではほぼ $\frac{1}{4}$ 波の時間内でCTは飽和している。傾向はOSC(a)～(b)に同じ。なお本オシロより求めた主回路時定数は約30msである。なお二次電流測定のためのオシロスケールを変更した。

過電流倍率は $\frac{11,200}{2 \times \sqrt{2} \times 200} = 19.8(\text{倍})$ である。



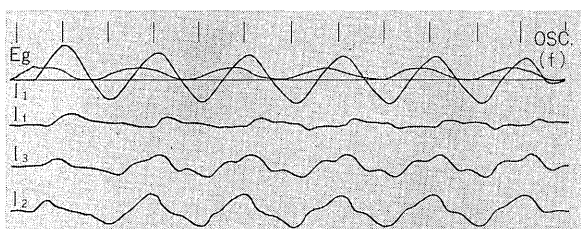
OSC(d)と同一測定条件である。ただし電源投入位相を過渡項零ならしめるように投入した最良状態である。電源電圧最大で投入され二次電流は $\frac{1}{4}$ 波で飽和している。二次電流零で励磁電流がほぼ最大に達している。

フィルタの立ち上がりはやや緩やかとなっているが遅れ時間は少ない。

過電流倍率は

$$\frac{8,300}{2 \times \sqrt{2} \times 200} = 14.6(\text{倍})$$

で測定中最小である。



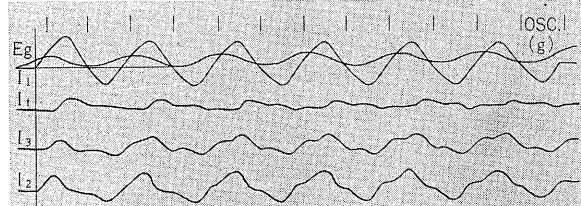
CTに直流電流を流して残留磁束を一方で最大とした場合でk(+)はこれを示したものである(注※3参照)。

最大過渡項発生位相で投入され、 $\frac{1}{4}$ 波以下でCTが飽和している。

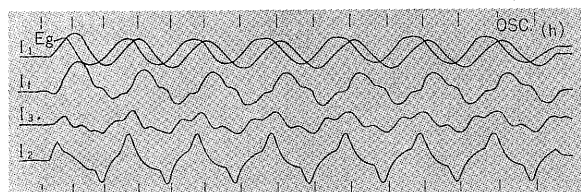
過電流倍率は

$$\frac{9,800}{2 \times \sqrt{2} \times 200} = 17.3(\text{倍})$$

である。



OSC(f)と逆にk(-)としてCTの残留磁束を逆方向に最大とした場合である。過電流率は前者と同一である。この結果による限りは直流分で偏移されたCT残留磁束の大きさはあまり結果に影響しないという結論になったが交流分と過渡直流分の大きさおよび鉄心のヒステリシス特性の影響で残留磁束が無視できる結果になったと考えるべきであろう。



大きな短絡電流の場合でI_f, I₂, I₃がいずれも極端に変形されている。飽和発生も $\frac{1}{4}$ 波以下で始まる。

過電流倍率は

$$\frac{35,000}{2 \times \sqrt{2} \times 200} = 62(\text{倍})$$

である。

第8図 過渡特性試験結果(その2)

Fig. 8. Transient response of CT (Part 2)

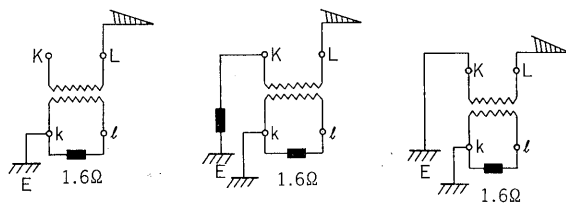
(1) 3.6kV ブチルゴムモールド CT : CB6-6 形

3,000/5A 40VA

(2) 油入 CT : CT2-60 形 400-200/5A 40VA

(3) 油入形 CT : KCTSO 913/100 形 400/5A 100VA

試験内容としては絶縁階級に対応した異常電圧を一次側へ印加し、二次側へ移行する電圧を測定した。特に CT の場合にはさらに一次端子間の発生電圧が CT 自身の設計上でも必要なので、アナライザ試験も実施した。



測定個所

K-E 間, L-E 間, K-L 間, k-l 間

第 10 図 CT の結線および測定個所

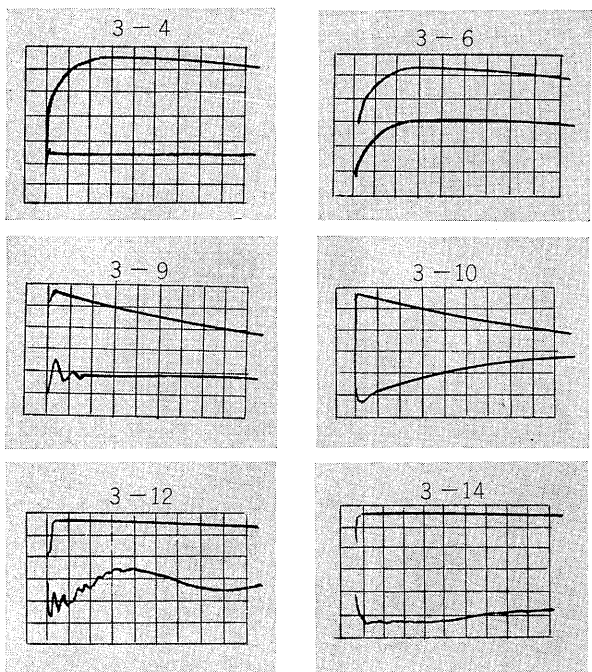
Fig. 10. Connection of CT and measuring point

第 9 表 試験結果(その 2)

Table 9. Test results (Part 2)

①	試験内容	3.6kV ブチルゴムモールド CT CB6-6 形 調査測定 一次側印加波形 $T_f = 0.2 \mu s, 1.0 \mu s, 200 \mu s$ の 3 種類 0.2×40 μs (開閉サージ) 1.0×40 μs (開閉サージ) 200×1,000 μs (開閉サージ緩波頭) (その 1) では接地抵抗を考慮せず直接接地したが (その 2) では接地抵抗集中抵抗を挿入し試験を行ないその影響を比較した。	⑤ 印加波形	結線	移行電圧 (%)	測定点	オシログラム	
							波形	検出条件
②	供試品形式	モールド CT CB6-6 形 (3,000/5A) 40VA	試験結果	0.2×4.0 μs $R = 100 \Omega$	4.5	k-l		100 V/div
								5 V/div
								1 μs/div
③	試験回路	 (1) 0.2×40 μs $R_s = 150(\Omega)$ $R_o = 1.2(k\Omega)$ $E_p = 310(V)$ $C_o = 200(pF)$ (2) 1×40 μs $R_s = 150(\Omega)$ $R_o = 1.2(k\Omega)$ $C_o = 2,500(pF)$ $r = 15(\Omega)$ (3) 200×1,000 μs $R_s = 1.2(k\Omega)$ $R_o = 10(k\Omega)$ $R' = 4.5(k\Omega)$ $C_o = 0.05(\mu F)$	1×40 μs $R = 100 \Omega$	同上	3.0	k-l		100 V/div
								5 V/div
								2 μs/div
④	供試品の結線	 $Z = 40 \text{ VA}$ $R = \text{接地抵抗 (第3種接地相当)}$ 最大許容値として 100Ω の集中抵抗を挿入	200×1,000 μs	同上	0.1以下	k-l		100V / div
								1V / div
								200 μs/div

$$\text{注) 1. 移行電圧 \%} = \frac{\text{検出波 Peak}}{\text{印加波 Peak}} \times 100$$

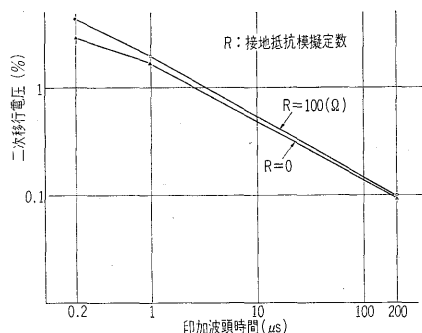
2. 緩波頭 (200×1,000) 印加は $R=0, 100\Omega$ ともに検出波に変化なし。

第 11 図 アナライザ試験オシログラム

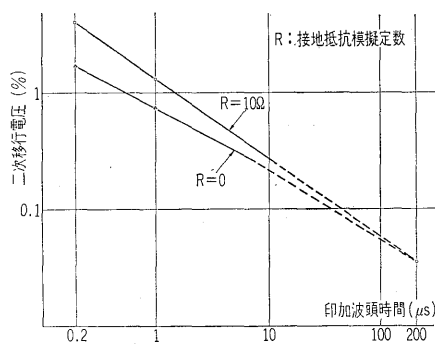
Fig. 11. OSC of analyser test

第10表 試験結果(その3)

Table 10. Test results (Part 3)



第12図 モールド CT : CB 6-6 形移行電圧特性
Fig. 12. Transfervoltage characteristic of mold CT type CB 6-6



第13図 油入 CT : CT 2-60
Fig. 13. Transfer voltage of CT type CT 2-60

第11図は第8表⑤におけるアナライザ試験結果のオシログラムである。

試験結果(その2)は第9表のとおりである。

第12図は結果(その1), (その2)をまとめて示したものである。

試験結果(その3)を第10表に示す。

[CT 2-60形油入 CT]

1) 緩波頭波($200 \times 1,000 \mu s$)を印加した場合は、二次側への移行分はほとんど零である。これは $200 \mu s$ 程度の立ち上がりでは、すでに静電移行ではなく、電磁的な結合をしていると考えられ、結線図から明らかのように一次側他端開放で印加しているため、二次側への誘起電圧は零となる。

なお、 $200 \mu s$ では周波数にして 1.25 kHz となる。

2) 油タンクの接地をはずすと、 $0.2 \times 40, 1 \times 40 \mu s$ の各波についてみると、かなり移行電圧が増大する(シールドの効果がなくなる)。

3) 接地抵抗を集中定数として、そう入しているため、実際の分布的な接地抵抗とは異なり、かなり、検出電圧が大きくなっているものと思われる。したがってこの試験結果そのものが実際使用状態で発生するとは考えられず、ほぼ最大としてみて良いと考える。

試験結果(その4)は第11表に示す。

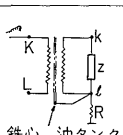
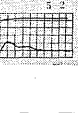
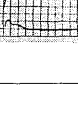
第10表 試験結果(その3)

Table 10. Test results (Part 3)

油入 CT		CT 2-60 形		
印加波形	結線	移行電圧測定点 (%)	オシログラム	波形 検出条件
$0.2 \times 40 \mu s$	 $R=10 \Omega$	3.9		100 V/div 10 V/div 2 μs/div
$0.2 \times 40 \mu s$	同上 $R=0$	1.7		100 V/div 5 V/div 2 μs/div
$1 \times 40 \mu s$	同上 (接地線Aをはずす) $R=10 \Omega$	17.7		100 V/div 20 V/div 2 μs/div
$1 \times 40 \mu s$	 $R=10 \Omega$	1.3		100 V/div 2 V/div 2 μs/div
$1 \times 40 \mu s$	同上 $R=0$	0.74		100 V/div 2 V/div 2 μs/div
$200 \times 1,000 \mu s$	 $R=10 \Omega$	6.6		100 V/div 20 V/div 2 μs/div
$200 \times 1,000 \mu s$	同上 $R=0$	3.7		100 V/div 10 V/div 2 μs/div
$200 \times 1,000 \mu s$	 $R=10, R=0$	0.05 以下 ÷零		100 V/div 0.5 V/div 200 μs/div

注) 1. 移行電圧%とは $\frac{\text{検出波 Peak(max)}}{\text{印加波 Peak}} \times 100$

第 11 表 試験結果(その 4)
Table 11. Testing results (Part 4)

油入 C T kCTSO 913/100 形					
①	試験内容	(その 1), (その 2), (その 3) に同じ			
②	供試品形式	油入 C T kCTSO 913/100 形 (400/5A, 100VA)			
③	試験回路	(その 2), (その 3) に同じ			
④	供試品の結線	 <p>Z : 100 VA R : 接地抵抗 集中抵抗 10Ω を挿入 鉄心、油タンクを含む。</p>			
⑤	印加波形	結線	移行電圧 %	測定点	オシログラム
試験結果	$0.2 \times 40 \mu s$	$K=10 \Omega$	5.2	$k-l$	
		同上	4.3	$k-l$	
		$R=0$			
	$1 \times 40 \mu s$	$R=10 \Omega$	3.9	$k-l$	
		同上	3.5	$k-l$	
		$R=0 \Omega$			
	$200 \times 1,000 \mu s$	同上	0.05 以下 △零	$k-l$	
		$R=10, R=0$			

IV. む す び

計器用変成器の過渡変成特性として本号では C T を中心として述べた。次回は P T を中心として報告する予定である。

参考文献

- (1) Gerhard Rosenberger: Stromwandler für neuzeitlichen Netzschatz. Siemens Z. 1966 H. 1, S. 18~23
- (2) Rudolf Zahorka: Das Verhalten von Stromwandlern bei Einschwingvorgängen. AEG-Mitteilungen 56 (1966) 3. S. 209~215
- (3) Rudolf Zahorka: Das Verhalten von Stromwandlern bei Einschwingvorgängen mit Gleichstromgliedern unter Berücksichtigung der Sättigung. AEG-Mitteilungen 57 (1967) 1. S. 19~27
- (4) Rudolf Zahorka, Von Hans Hermann Bay, Walth Halama, Johannes Hermann Noeller: Verhalten von Stromwandlern und Distanzschatzrelais bei Kurzschlussströmen mit Gleichstromglied. ETZ-A Bd. 88 Jg 3 März (1967) H. 5, S. 113~120
- (5) Hans Petry: Strom-und Spannungswandler für Schnellen Netzschatz. Elektrizitätswirtschaft. Jg. 67 (1968) H. 7, S. 167
- (6) J.W. Hodgkiss: The Behaviour of Current Transformers Subjected to Transient Asymmetric Currents and the Effects on Associated Protective Relays. CIRGE (1960) 329
- (7) Von Hans Klinger: Meßwandler als Betriebs Mittel Siemens Z. September 1966 H. 9, S. 667~672
- (8) R.G. Bruce, A. Wright: Remanent Flux in Current-Transformer Cores. Proc. IEE, Vol. 113, No. 5 May 1966 pp. 915~920
- (9) D.E. Marshall, P.O. Langguth: Current Transformer Excitation under Transient Conditions. Transaction A.I.E.E. October 1929 pp. 1464~1474
- (10) 森本・井上・和田: 変流器の過渡特性 電力 Vol. 50, No. 4 (41年4月) pp. 34~41
- (11) C. Concordia, C.N. Weygant, H.S. Shott: Transient Characteristics of Current Transformers during Faults, Transaction A.I.E.E. May 1942 61, 281
- (12) 石川・藤木: しゃ断器投入時における高圧 C T の異常電圧発生現象 電力 Vol. 47, No. 3 (38年3月) pp. 40~44
- (13) W.P. Lewis: Effect of Transients on E.H.V. Protection Part. 1 Electrical Times, 19 January, 1967 pp. 83~86
- (14) W.P. Lewis: Effect of Transients on E.H.V. Protection Part. 2 Electrical Times, 26 January, 1967 pp. 132~134
- (15) W.P. Lewis: Effect of Transients on E.H.V. Protection Part. 3 Electrical Times, 2, February 1967 pp. 180~182



*本誌に記載されている会社名および製品名は、それぞれの会社が所有する商標または登録商標である場合があります。